

doi: 10.13241/j.cnki.pmb.2014.07.002

# 不同标签辅助的 IBTX 原核表达纯化及活性鉴定 \*

赵志文 张 峥 刘浩文 黄智刚 吴 颖<sup>△</sup>

(华中科技大学生命科学与技术学院 湖北 武汉 430074)

**摘要 目的:**在原核体系中建立高效表达纯化 IBTX(Iberiotoxin)的工艺,并比较不同标签对 IBTX 生物活性的影响。**方法:**利用引物搭桥的方法,经 PCR 扩增,获得 IBTX 编码基因,以此为模板分别构建了表达质粒 PET32a(+)-IBTX、pGex-6p-1-IBTX、pDuet-MBP-IBTX,并将其转入 *E.coli*(BL21)分别表达带有硫氧还原蛋白(TRX)、谷胱甘肽巯基转移酶(GST)、麦芽糖结合蛋白(MBP)标签的 IBTX 融合蛋白,在经过亲和层析、烟草蚀纹病毒(TEV)蛋白酶切、C18 反向层析纯化后真空冻干得到 IBTX 干粉,以电生理实验检测其生物活性。**结果:**在三种标签帮助下通过原核体系表达出的 IBTX 都能够特异性的阻断大电导  $\text{Ca}^{2+}$  激活的钾通道(BK)电流,其中 MBP 帮助折叠的 m-IBTX 活性最佳。**结论:**建立了 IBTX 在 MBP 标签帮助下的原核表达纯化工艺,为进一步研究蝎钾离子通道  $\alpha$  家族神经毒素及其突变体的原核表达奠定了基础。

**关键词:**钾离子通道毒素;IBTX;标签蛋白;BK

中图分类号:Q78 文献标识码:A 文章编号:1673-6273(2014)07-1207-05

## The Expression, Purification and Identification of IBTX in *E.coli* with Different Tags\*

ZHAO Zhi-wen, ZHANG Zheng, LIU Hao-wen, HUANG Zhi-gang, WU Ying<sup>△</sup>

(Huazhong University of Science and Technology, College of life science and technology, Wuhan, Hubei, 430074, China)

**ABSTRACT Objective:** To establish the process of expressing and purifying the effective IBTX in *E.coli*, and compare the impact of different protein tags on the bioactivity of the recombinant IBTX. **Methods:** The overlapping polymerase chain reaction (PCR) was used, and the IBTX coding sequence was cloned into PET32a (+), pGex-6p-1 and pDuet-MBP vectors. The plasmid PET32a (+)-IBTX, pGex-6p-1-IBTX and pDuet-MBP-IBTX were transformed into *E.coli* BL21 for the expression of IBTX fusion proteins. After the process of affinity chromatography, protein cleavage by TEV and reversed phase chromatography by a semi-preparative C18 column, the IBTX was lyophilized into powder and tested by the electrophysiological experiments. **Results:** All the IBTXs folded with the existence of the three tags in *E.coli* could specially block the BK channel, and the IBTX folded by MBP (m-IBTX) showed the greatest acitivity. **Conclusion:** The process of IBTX expression and purification with the help of MBP in *E.coli* has been well established, which provides a reference for the further research about getting the  $\alpha$ -KTx family members and their variants in prokaryotic system.

**Key words:** KTX; IBTX; Protein tags; BK

**Chinese Library Classification(CLC): Q78 Document code: A**

**Article ID:** 1673-6273(2014)07-1207-05

### 前言

毒素  $\alpha$ -KTx 1.3(IBTX)是一种蝎钾离子通道  $\alpha$  家族神经毒素,其序列包括 37 个氨基酸,与北非蝎毒素(ChTX)有 68 % 同源性,可特异性阻断 BK 通道,具有高阻断效率、高特异性等特点,在细胞电生理中广泛应用于 BK 通道功能与结构特性研究<sup>[1-4]</sup>。目前有研究指出 BK 通道的  $\beta$ 4 亚基可使 BK 通道明显增加对 IBTX 的毒素抗性<sup>[5-6]</sup>,而  $m\beta$ 3 亚基上的 C152 靠近 BK 通道  $\alpha$  亚基的 K296,是妨碍 IBTX 的阻断的关键位点<sup>[7]</sup>。此外,IBTX 对平滑肌细胞的调节作用近年来也得到深入研究<sup>[8-9]</sup>。

工业上生产的 IBTX 价格极为昂贵,且无法满足研究中改

变其特定位点氨基酸得到突变体多肽的需要。而 IBTX 序列含有三对二硫键<sup>[10]</sup>,难于在原核生物中直接表达得到有功能的多肽。近年来很多结构复杂的重组蛋白在具有助折叠功能的蛋白标签,如 MBP、GST、TRX,帮助下才能正确折叠<sup>[11-13]</sup>。本文拟在原核体系中建立高效表达纯化 IBTX(Iberiotoxin)的工艺,并比较不同标签对 IBTX 生物活性的影响。

### 1 材料与方法

#### 1.1 质粒、菌株与细胞

原核表达载体 PET32a (+)、pGex-6p-1、pDuet-MBP 及真核表达质粒 PCDNA3.1-mSlo1 和菌株 *E.coli* (DH5 $\alpha$ )、*E.coli*

\* 基金项目:国家重点基础发展规划项目(973 子项目)(2010CB529804)

作者简介:赵志文(1986-),男,博士研究生,主要研究方向:重组蛋白的表达纯化与结晶,

电话:15172469742, E-mail: zzw860823@126.com

△通讯作者:吴颖,电话:15607160030, E-mail: wuying2010@hust.edu.cn

(收稿日期:2013-06-28 接受日期:2013-07-19)

(BL21)、HEK293 细胞均由本实验室保存。

### 1.2 酶与试剂

*MscI*、*NofI*、*EcoRI*、*XhoI*、*Pfu* 酶、T4 连接酶均购自 NEB 公司。PCR purification kit、Gel extraction kit 和 Plasmid miniprep kit 购自天根公司。TEV 蛋白切割酶、IPTG 等酶及生化试剂均为国产或进口分析纯。

### 1.3 IBTX 基因的 PCR 扩增

根据已报道的 IBTX 氨基酸序列 (Genbank 查询号：

P24663) 以及大肠杆菌的偏爱密码子设计 IBTX 拼接引物 IB-1、IB-2、IB-3(表 1), 用引物搭桥的方法进行 PCR 扩增。在后续实验中因需用到 TEV 蛋白酶酶切, 故在序列 5' 端引入编码 TEV 酶切位点序列 (ENLYFQG)。将搭桥引物 IB-1、IB-2、IB-3 加入 PCR 体系, 条件: 95 °C 预变性 3 min, 94 °C 变性 30 s, 50 °C 退火 30 s, 72 °C 延伸 30 s, 反应 30 个循环后, 72 °C 后延伸 10 min。

表 1 根据 IBTX 氨基酸序列设计的扩增引物  
Table 1 The primers designed by the aminoacid sequence of IBTX

Primer name	Primer sequence (5'-3')
IB-1	ATGGAGAACCTGTACTTCCAGGGTCAGTTACCGATGTGGATTGCAGCGT
IB-2	GTGGATTGCAGCGTGAGCAAGGAATGCTGGAGCGTGTGCAAAGATCTGTTGGCGTGGAA
IB-3	CTACTGATAGCAGCGGCACTCTGCCATGCATTGCCGCGATCCACGCCAACAG
IB-EcorI-up	ATCGAATTICATGGAGAACCTGTACTTCCA
IB-XhoI-low	ATCCTCGAGCTACTGATAGCAGCGGCACT
IB-MscI-up	ATCTGGCCAATGGAGAACCTGTACTTCCA
IB-NotI-low	ATCGCGGCCGCCTACTGATAGCAGCGGCACT

### 1.4 表达质粒的构建

1.4.1 PET32a-IBTX 的构建 以扩增得到的 IBTX 为模板, 以引物 IB-MscI-up、IB-XhoI-low(表 1)再次扩增, 得到的 DNA 片段与 PET32a(+)以 *MscI* 和 *XhoI* 内切酶处理, 回收后以 1:3 比例混合后 T4 DNA 连接酶 16 °C 连接过夜, 并转化 *E.coli*(DH5 $\alpha$ ), 挑选阳性菌落提取质粒送武汉诺赛公司测序鉴定。

1.4.2 pGex-6p-1-IBTX 的构建 方法如 1.4.1 所述, 扩增引物分别为 IB-EcorI-up、IB-XhoI-low(表 1), 载体为 pGex-6p-1, 内切酶为 *EcorI* 和 *XhoI*。

1.4.3 pDUET-MBP-IBTX 的构建 方法如 1.4.1 所述, 扩增引物分别为 IB-EcorI-up、IB-NotI-low(表 1), 载体为 pDuet-MBP, 内切酶用 *EcorI* 和 *NotI*。

### 1.5 IBTX 的表达与纯化

测序正确的 IBTX 表达质粒转入 *E.coli*(BL21)并挑取单菌落, 接入 5 mL LB 培养基, 37 °C 转速 200 rpm 培养过夜; 将 5 mL 新鲜培养基接入 1 L 的 LB 培养基, 37 °C 转速 200 rpm 进行培养, 当 OD600 达到 0.6-0.8 时, 加入终浓度为 0.2 mM 的 IPTG, 30 °C 诱导 5 h, 4500 rpm 15 min 收集菌体, 并重悬于 40 mL 裂解液 (mM): 150 NaCl, 20 Tris, 20% 甘油, pH 7.5。冰上 400 W 功率超声破菌 10 min(5 s 开, 5 s 关), 10000 rpm 离心 60 min 收集上清。对于 PET32a(+) -IBTX 与 pDuet-MBP-IBTX, 取上清液过镍柱亲和层析, 浓缩洗脱后的融合蛋白至 2 mL, 加入 TEV 蛋白切割酶(分子比 250:1)室温酶切过夜。酶切液经过滤后过 HPLC 半制备的 C18 反相柱, 洗脱程序为: 10 % 乙腈 10 min, 10 %-80 % 乙腈 35 min, 80 % 乙腈 10 min, 流速 2 mL/min, 监视波长 280 nm。收集洗脱得到的 IBTX 蛋白峰冻干成干粉, 并以纯水重悬后用 BCA 法定量。pGex-6p-1-IBTX 表达的融合蛋白带有 GST 标签, 以 GST 亲和层析柱进行纯化, 其余步骤

与上述相同。

### 1.6 电生理活性检测

将得到的三种 IBTX 干粉溶解于细胞外液配成所需浓度。在转染了 *PcDNA3.1-mSlo1* 的 HEK293 细胞上用内膜向外的膜片钳记录模式记录 BK 通道电流。细胞钳制在 0 mV, 以 200 ms、+90 mV 的去极化脉冲刺激, 然后给予 50 ms、-120 mV 超极化刺激, 观察尾电流情况。通过灌注系统精确加入配好的 IBTX 毒素及作为对照的钾通道阻断剂四乙铵(TEA), 记录电流变化(具体方法可参见<sup>[29]</sup>)。

## 2 结果

### 2.1 IBTX 的 PCR 扩增及其表达质粒构建

IB-1、IB-2、IB-3 引物搭桥 PCR 扩增的产物用琼脂糖凝胶电泳鉴定在 200 bp 附近有十分明显的 DNA 扩增带, 与预期基因大小一致(图 1A)。以其为模板, 分别用相应引物再次扩增, 所得 PCR 产物经双酶切后连接到相应载体, 经测序得到序列正确的 PET32a(+) -IBTX、pGex-6p-1-IBTX、pDuet-MBP-IBTX。表达框架见图 1C。

### 2.2 重组菌表达纯化分析

1 L 重组菌经 IPTG 于 30 °C 诱导表达 5 h 后, 收集菌体, 2× SDS 裂解液裂解, SDS-PAGE 鉴定表达产物。结果表明, 融合蛋白 TRX-IBTX (17KD)、GST-IBTX (31KD) 和 MBP-IBTX (44KD) 在 BL21 中都大量表达, 其中 MBP-IBTX 表达量较高, 约占总蛋白含量的 50 %(图 2A)。MBP-IBTX 融合蛋白经过 Ni-NTA 亲和层析纯度达到 85 %以上, 浓缩后 TEV 酶切过夜, 有 90 %以上重组蛋白被切开。过 HPLC C18 反相柱, 在乙腈浓度 25 %左右出现 m-IBTX 吸收峰, 经 SDS-Page 凝胶电泳鉴定 m-IBTX 大小与预测分子量吻合, 纯度在 90 %以上(图 2B、C)。

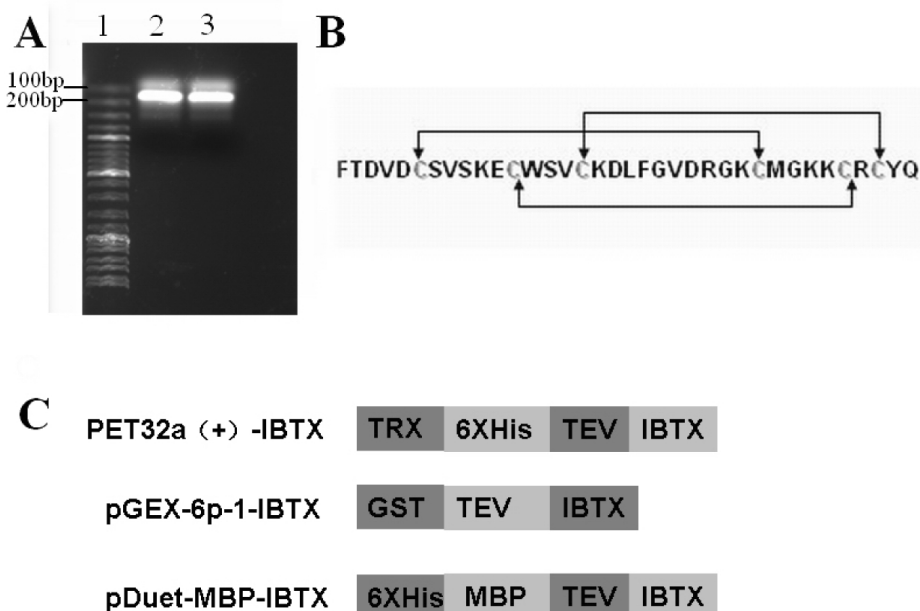


图 1 IBTX 表达质粒的构建

(A) IBTX 编码基因的扩增。1 DNA 梯度 2、3 IBTX 编码基因 PCR 结果。(B) IBTX 的氨基酸序列及二硫键配对。  
 (C) 表达质粒的融合蛋白框架  
 Fig.1 The construction of IBTX expression plasmid  
 (A) Amplification of IBTX coding sequence. 1 DNA marker 2,3 IBTX PCR results. (B) The amino acid sequence of IBTX and the disulfide bond pairing of the 6 cysteins. (C) The construction of IBTX fusion proteins

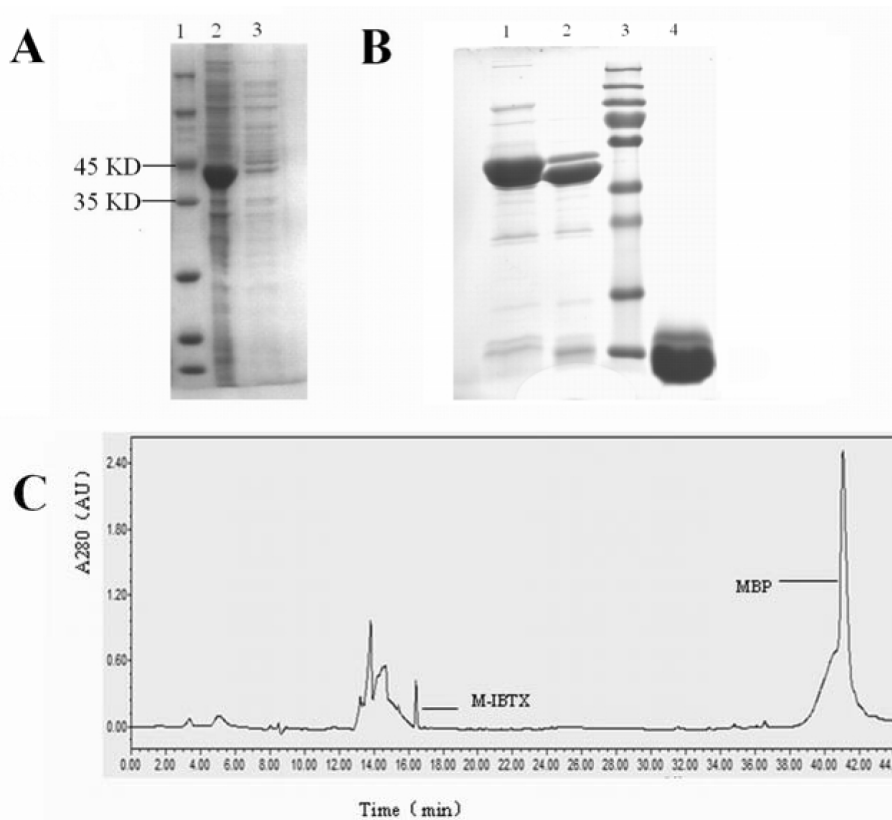


图 2 m-IBTX 的表达纯化情况

(A) 融合蛋白 MBP-IBTX 的表达情况。1 蛋白 marker 2 诱导后 3 诱导前 (B)m-IBTX 的纯化情况。1 经 Ni 柱亲和层析的 MBP-IBTX 2 TEV 蛋白酶切 3 蛋白 marker 4 经反相层析纯化后的 m-IBTX (C)m-IBTX 反相层析纯化情况  
 Fig.2 The analysis of the m-IBTX expression and purification  
 (A) The expression of fusion protein MBP-IBTX 1 protein marker 2 after induced 3 before induced (B) The purification of m-IBTX. 1MBP-IBTX purified by Ni affinity chromatography 2 protein cleaved by TEV protease 3 protein marker 4 the concentrated m-IBTX purified by a C18 reverse chromatography (C) Reversed-phase C18 chromatography of m-IBTX

TRX 及 GST 标签帮助折叠的的 IBTX(t-IBTX,g-IBTX)纯化结果与 m-IBTX 类似。冻干后的 IBTX 干粉加水溶解,BCA 法定量, 其中 m-IBTX 得率约为 0.25 mg/L,g-IBTX 得率约为 0.15 mg/L,t-IBTX 得率约为 0.5 mg/L。

### 2.3 IBTX 的活性鉴定及比较

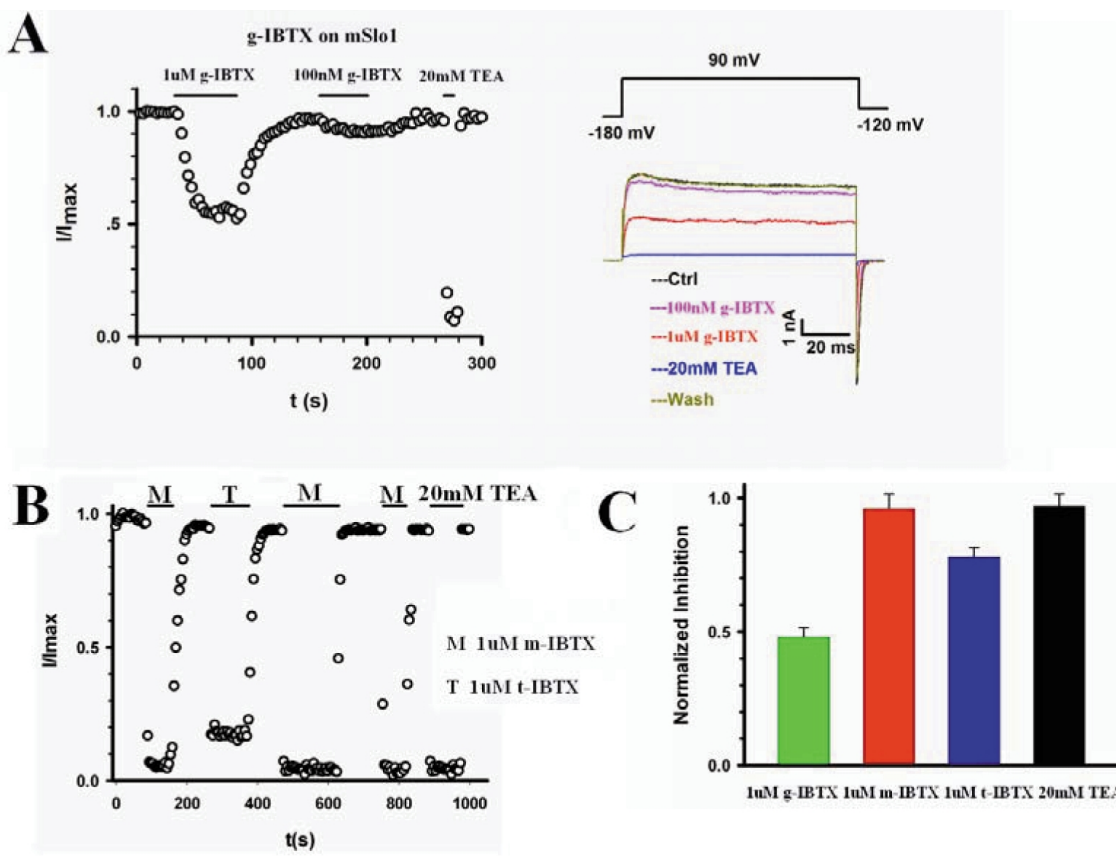


图 3 g-IBTX、m-IBTX 及 t-IBTX 对 BK 通道电流的阻断情况

(A) g-IBTX 的药效检验。左半部分是为实时电流与电流峰值比值随时间的作图, 加药与洗脱的时间如图所示。右半部分 mSlo1 的电流 Traces, 所用电压 protocol 如图所示。(B) m-IBTX,t-IBTX 的药效检验。(C) g-IBTX,m-IBTX,t-IBTX 的归一化的阻断效果

Fig.3 The function of g-IBTX, m-IBTX and t-IBTX on mSlo1

(A)The function of g-IBTX. Left: the ratio of  $I/I_{max}$  plotted as a function of time. The time of adding and washing drugs has been pointed out. Right: the current traces of mSlo1. The voltage protocol is plotted at the top of each trace. (B) The function of m-IBTX and t-IBTX. (C) The normalized inhibition of each IBTX

### 3 讨论

蝎毒液中含有丰富的毒素多肽, 20 多年来已鉴定出超过 120 多个蝎钾离子通道抑制多肽<sup>[14]</sup>。这其中蝎钾离子通道  $\alpha$  家族神经毒素是最大的亚族, 其序列一般在 23 到 39 个氨基酸, 含有 3 到 4 对二硫键, 是探索离子通道绝好的分子探针工具, 广泛应用于研究各种钾离子通道的组织分布、组成和结构、生理药理学特性<sup>[15,16]</sup>。蝎钾离子通道毒素也是靶向离子通道药物开发极为宝贵的模板。目前主要有三种方法获得蝎毒素多肽: 1 直接从蝎毒液中提纯。这种方法所得毒素结构功能特性最好, 但分离纯化复杂, 蝎毒液获取困难, 成本极高。2 通过化学合成的方法, 但难以保证合成毒素的二硫键是否正确配对。3 重组表达毒素多肽。目前该方法已成为获取蝎毒素多肽的首选方法<sup>[17,18]</sup>。

本文根据已报道的 IBTX 序列以及大肠杆菌的偏爱密码

三种重组 IBTX 都具有生物活性, 能有效抑制 BK 通道电流。其中 1 uM g-IBTX 只能阻断约 50 % BK 电流, 1 uM t-IBTX 可阻断 80 % 的电流而 m-IBTX 抑制作用最强, 可在 1 uM 浓度下完全阻断 BK 电流(图 3)。

子设计拼接引物, 用引物搭桥的方法成功扩增 IBTX 编码基因, 并将其在原核体系中分别与三种常见标签蛋白融合表达, 经一系列纯化手段后成功得到有功能的 IBTX 毒素, 并对比了不同标签帮助 IBTX 正确折叠的能力。结果表明在 MBP 标签作用下, 原核表达的 m-IBTX 相较于在 TRX、GST 标签帮助折叠的 t-IBTX,g-IBTX, 具有较高活性, MBP 标签对于这一类毒素的助折叠功能可能优于 TRX 及 GST。这项研究对于以 IBTX 为基础的靶向 BK 通道多肽药物的设计具有重要意义, 同时也为其他蝎钾离子通道  $\alpha$  家族毒素在原核中的高效表达的研究奠定了基础。

但相较天然毒素, 所得重组 IBTX 效率偏低, 洗脱时间较快, 说明其与 BK 通道的结合方式与天然 IBTX 相较仍存在一定差异。其原因可能是原核表达体系有限的翻译后修饰能力造成 IBTX 未能完全正确折叠。在今后的研究中, 应该进一步研究如何结合化学手段如氨基酸的环化、酰基化等对产物进行修

饰,摸索出效率能与天然 IBTX 相媲美的表达纯化工艺。

#### 参考文献(References)

- [1] Galvez A, Gimenez-Gallego G, Reuben JP, et al. Purification and characterization of a unique, potent, peptidyl probe for the high conductance calcium-activated potassium channel from venom of the scorpion *Buthus tamulus*[J]. *Journal of Biological Chemistry*, 1990, 265(19): 11083-11090
- [2] Tang QY, Zhang Z, Xia XM, et al. Block of mouse Slo1 and Slo3 K<sup>+</sup> channels by CTX, IbTX, TEA, 4-AP and quinidine[J]. *Channels*, 2010, 4(1): 22-41
- [3] Gomase VS, Phadnis AC, Somnath W. Proteomics based prediction of antigenicity of iberiotoxin from eastern Indian scorpion[J]. *International Journal of Drug Discovery*, 2009, 1(1): 10-13
- [4] Haghdoost-Yazdi H, Janahmadi M, Behzadi G. Iberiotoxin-sensitive large conductance Ca<sup>2+</sup>-dependent K<sup>+</sup> (BK) channels regulate the spike configuration in the burst firing of cerebellar Purkinje neurons[J]. *Brain research*, 2008, 1212: 1-8
- [5] Meera P, Wallner M, Toro L. A neuronal β subunit (KCNMB4) makes the large conductance, voltage-and Ca<sup>2+</sup>-activated K<sup>+</sup> channel resistant to charybdotoxin and iberiotoxin [J]. *Proceedings of the National Academy of Sciences*, 2000, 97(10): 5562-5567
- [6] Gan G, Yi H, Chen M, et al. Structural basis for toxin resistance of β4-associated calcium-activated potassium (BK) channels[J]. *Journal of Biological Chemistry*, 2008, 283(35): 24177-24184
- [7] Wu RS, Liu G, Zakharov SI, et al. Positions of β2 and β3 subunits in the large-conductance calcium-and voltage-activated BK potassium channel[J]. *The Journal of general physiology*, 2013, 141(1): 105-117
- [8] Rice A. Regulation of smooth muscle activity in the rat: Effects of castration and iberiotoxin[D]. Youngstown State University, 2011
- [9] Upadhyay DK, Kim TW, Sharma N, et al. Magnesium increases iberiotoxin-sensitive large conductance calcium activated potassium currents on the basilar artery smooth muscle cells in rabbits [J]. *Neurological Research*, 2012, 34(1): 11-16
- [10] Johnson BA, Sugg EE. Determination of the three-dimensional structure of iberiotoxin in solution by proton nuclear magnetic resonance spectroscopy[J]. *Biochemistry*, 1992, 31(35): 8151-8159
- [11] Banères JL, Popot JL, Mouillac B. New advances in production and functional folding of G-protein-coupled receptors[J]. *Trends in biotechnology*, 2011, 29(7): 314-322
- [12] Vincentelli R, Cimino A, Geerlof A, et al. High-throughput protein expression screening and purification in *Escherichia coli*[J]. *Methods*, 2011, 55(1): 65-72
- [13] Hayashi K, Kojima C. Efficient protein production method for NMR using soluble protein tags with cold shock expression vector[J]. *Journal of biomolecular NMR*, 2010, 48(3): 147-155
- [14] Martin-Eauclaire MF, Bougis PE. Potassium Channels Blockers from the Venom of *Androctonus mauretanicus mauretanicus*[J]. *Journal of toxicology*, 2012, 2012: 103608-103608
- [15] 吴英亮,曹志贱,蒋达和,等.作用于钾离子通道蝎毒素的结构特征及活性表面研究进展 [J].生物物理学报,2004, 20(2): 96-101  
Wu Ying-liang, Cao Zhi-jian, Jiang Da-he, et al. Structural characteristics and development of bioactive surface research of scorpion toxins affecting potassium ion channels[J]. *Acta Biophysica Sinica*, 2004, 20(2): 96-101
- [16] Garcia ML, Hanner M, Knaus HG, et al. Scorpion toxins as tools for studying potassium channels[J]. *Methods in enzymology*, 1999, 294: 624-639
- [17] Quintero-Hernandez V, Ortiz E, Rendon-Anaya M, et al. Scorpion and spider venom peptides: gene cloning and peptide expression[J]. *Toxicon*, 2011, 58(8): 644-663
- [18] Bingham JP, Chun JB, Ruzicka MR, et al. Synthesis of an iberiotoxin derivative by chemical ligation: A method for improved yields of cysteine-rich scorpion toxin peptides[J]. *Peptides*, 2009, 30(6): 1049-1057

(上接第 1278 页)

- [15] Prassopoulos, Raptopoulos V, Chuttani R. Development of virtual CT cholangiopancreatography[J]. *Radiology*, 1998, 209(2): 570-574
- [16] Lee DH. Three-dimensional imaging of the stomach by spiral CT[J]. *J Comput Assist Tomogr*, 1998, 22(1): 52-58
- [17] Iriuchishima T, Horauchi T, Kubomura T. Evaluation of the intercondylar roof impingement after anatomical double-bundle anterior cruciate ligament reconstruction using 3D-CT [J]. *Knee Surg Sports Traumatol Arthrosc*, 2011, 19(4): 674-679
- [18] Hoshino Y, Kim D, Fu FH. Three-dimensional anatomic evaluation

of the anterior cruciate ligament for planning reconstruction[J]. *Anat Res Int*, 2012, 2012: 569-704

- [19] Rispoli DM, Sanders TG, Miller MD. Magnetic resonance imaging at different time periods following hamstring harvest for anterior cruciate ligament reconstruction[J]. *Arthroscopy*, 2001, 17(1): 2-8
- [20] 孙丛,柳澄,王锡明,等.双能 CT 成像在显示膝关节韧带中的价值 [J].中国医学影像技术,2008, 24(9): 1323-1325  
Sun Cong, Liu Cheng, Wang Xi-ming, et al. Value of dual-energy CT imaging in displaying ligaments of knee [J]. *Chinese Journal of Medical Imaging Technology*, 2008, 24(9): 1323-1325